

**Material suplementario del Artículo de Revisión: Tablas.**

Tabla 1. Presencia de antibióticos y compuestos nitrogenados en diferentes tipos de agua residual.

Contaminante	Efluentes PTAR ( $\mu\text{g/l}$ )	AR	AR	Referencias
		Ganadería ( $\mu\text{g/l}$ )	Hospitalaria ( $\mu\text{g/l}$ )	
NT	28.5-30	330-505	$1.1 \times 10^4$ -1.8 $\times 10^4$	Behera <i>et al.</i> , 2011; Amoueie <i>et al.</i> , 2015; Liu <i>et al.</i> ,
<b>Compuesto</b>				2015
<b>nitrogenado</b>				Fernández-Nava <i>et</i>
NO <sub>3</sub> <sup>-</sup>	$45 \times 10^3$	2,970	4,300- $3,644 \times 10^3$	al., 2008; Ahmad <i>et</i> <i>al.</i> , 2014; Chagas <i>et al.</i> , 2011
TET	4	0.006-200	$1 \times 10^4$ - $5 \times 10^5$	Kim <i>et al.</i> , 2005; Ahmadi <i>et al.</i> , 2017; Oberoi <i>et al.</i> , 2019
<b>Tetraciclinas</b>				
OTC	0.026	0.031-2,100	0.036-3.7	Gao <i>et al.</i> , 2012; Oberoi <i>et al.</i> , 2019
CTC	7.9-250	0.35-664	$1 \times 10^5$ - $5 \times 10^5$	Oberoi <i>et al.</i> , 2019; Cheng <i>et al.</i> , 2020
SMX	0.03-0.98	0.0036-50	0.8-2.1	Brown <i>et al.</i> , 2006; Luo <i>et al.</i> , 2014;
<b>Sulfonamidas</b>				Oberoi <i>et al.</i> , 2019
SDZ	0.05-0.24	0.28-153.3	0.36-49.3	Oberoi <i>et al.</i> , 2019; Afsa <i>et al.</i> , 2020

					Hou <i>et al.</i> , 2015;
	SMZ	0.005-1.55	0.1-800	nd-0.16	Oberoi <i>et al.</i> , 2019;
					Afsa, 2020
					Kimosop <i>et al.</i> ,
	AMP	0.06-0.17	1.42-4.34	0.06-0.21	2016; Zhi <i>et al.</i> ,
					2018
<b>β-lactámicos</b>					Kimosop <i>et al.</i> ,
	AMOX	0.06-0.12	2-4.99	2.5	2016; Perini <i>et al.</i> ,
					2018; Zhi <i>et al.</i> ,
					2018
	CIP	6.55x10 <sup>3</sup> - 31x10 <sup>3</sup>	0.94-263.1	0.85-2	Brown <i>et al.</i> , 2006; Oberoi <i>et al.</i> , 2019; Hassan <i>et al.</i> , 2020
<b>Fluoroquinolonas</b>					Miao <i>et al.</i> , 2004;
	NOR	0.50-112.4	0.2-389.2	0.013-0.261	Chang <i>et al.</i> , 2010; Oberoi <i>et al.</i> , 2019
					Luo <i>et al.</i> , 2014;
<b>Macrólidos</b>	ERY	0.14-10	0.002-4.7	0.13-1.62	Chang <i>et al.</i> , 2010 Oberoi <i>et al.</i> , 2019

nd: no detectado

Tabla 2. Eliminación de antibióticos bajo condiciones desnitrificantes en diferentes sistemas experimentales.

Antibióticos/ Concentraciones	Sistema usado/Fuente de lodo	Eliminación de antibiótico (%)	Eliminación de $\text{NO}_3^-$ (%)	Ref.
Único antibiótico				
CIP	10 mg/l	Lote semicontinuo/ Reactor	10**	99
	30 mg/l	Lote semicontinuo/ Reactor	12**	99
	50 mg/l	Lote semicontinuo/ Reactor	50*, 12**	26-99
Hassan <i>et al.,</i> 2020				
Isla- García <i>et al.,</i> 2017				
AMP	10 mg/l	Lote/Reactor UASB	100*	100
Banda <i>et al.,</i> 2022				
SMX	0.001 mg/l	Microcosmos/Sedimentos de aguas profundas	25**	100
	1 mg/l	Microcosmos/Sedimentos de aguas profundas	50**	100
Barbieri <i>et al.,</i> 2012				

					Zhang
	20 µg/l (a)	SBR/CAS	21*	100	<i>et al.,</i> 2020a
SMZ	0.05-100 µg/l	Lote/Sedimentos de China	13.4*, 7.7**		Hou <i>et al.</i> , 2015
Mezcla de antibióticos					
ROX	20 µg/l	STR/CAS	15*	100	Suarez <i>et al.</i> , 2010
ERY	Cada uno		20*	100	
CIP			1*, 50**	81	Dorival-
NOR			2*, 40-70**	81	García <i>et al.</i> , 2013
OFL	500 µg/l	Lote/Planta piloto MBR	2*, 40-70**	81	
AC PIP	Cada uno		70**		
MOX			1*, 45**	81	
AC PIR			38**		
AMP			94-99	85-93	
SMX			88-99	85-93	Xia <i>et al.</i> , 2012
SDZ	500 µg/l	Reactor MBR/PT	93-99	85-93	
TET	Cada uno		83-93	85-93	
CTC			77-84	85-93	
OTC			79-88	79-88	
SMX	112 µg/kg	Microcosmos/Suelos de granja	26.4	100	Sun <i>et al.</i> , 2017
SDZ	352 µg/kg		40.9	100	

Eliminación reportada como acción biológica (\*), eliminación reportada como adsorción (\*\*), desnitrificación autótrofa (a).

Tabla 3. Diferentes efectos de antibióticos sobre el comportamiento fisiológico y cinético de lodos desnitrificantes.

Antibióticos/ Concentraciones	Sistema usado/Fuente del lodo	Fisiología			Cinética			Ref.	
		Eficiencia							
		de consumo de NO <sub>3</sub> <sup>-</sup>	Acumulación de nitrito (mg/l)	Disminución de qNO <sub>3</sub> (%)	Disminución de qHCO <sub>3</sub> (%)	Incremento de qN <sub>2</sub> O (%)	Disminución de qN <sub>2</sub> (%)		
<b>Único antibiótico</b>									
CIP	10 mg/l	Reactor	99	127.22	14	ND	ND	ND	Li et al., 2021
	50 mg/l	EGSB/PT	99	43.37	17	ND	ND	ND	Islas-García et al., 2017
	100 mg/l		99	123	34	ND	ND	ND	
AMP	18 mg/l	Lote/Reactor UASB	ND	ND	83.95*	92.99*	ND	86.79*	García et al., 2017
	10 mg/l	Reactor	98	110	45	ND	ND	ND	Li et al., 2021
	50 mg/l	EGSB/PT	38.13	60	73	ND	ND	ND	
AMOX	100 mg/l		26.8	48.95	80	ND	ND	ND	

	0.01 mg/l	Lote/Sedimentos	84.35	6.34	11.51	ND	ND	ND	Ahmad et al.,
SMZ	0.1 mg/l	sintéticos	93.57	1.99	1.58	ND	ND	ND	et al., 2014
	1 mg/l		92.09	ND	3.16	ND	ND	ND	
	0.05-100 µg/l	Lote/Sedimentos	ND	ND	38.46*	ND	39 veces*	ND	Hou et al., 2015
SMX	10 mg/l	Reactor EGSB/PT	50.6	90	62	ND	ND	ND	Li et al.,
	50 mg/l		22.5	39.82	80	ND	ND	ND	al., 2021
	100 mg/l		7.98	25	92	ND	ND	ND	
TET	1-250 mg/l	Reactor EGSB/PTAR	87.4	ND	ND	ND	ND	ND	Liu et al., 2016
	10 mg/l		90.89	119.93	45	ND	ND	ND	
	50 mg/l		43.97	90	67	ND	ND	ND	al.,
CTC	100 mg/l	Reactor EGSB/PT	16.46	40.6	89	ND	ND	ND	2021
	0.01 mg/l	Lote/Sedimentos sintéticos	87.44	8.05	8.64	ND	ND	ND	Ahmad et al.,
	0.1 mg/l		86.25	8.92	9.60	ND	ND	ND	2014

	1 mg/l	84.03	8.30	11.73	ND	ND	ND
<b>Mezcla de antibióticos</b>							
	0.05-						
<b>ERY</b>	45.4	Experimentos de					
<b>NOR</b>	0.2-14.2	lechos/					
<b>SMZ</b>	0.53-	Sedimentos de	ND	ND	44.23		
<b>OTC</b>	89.1	estuarios				3.77 veces	ND
	5.13-						
	22.5 ng/l						

\* Reportado como velocidad específica (mg/g SSV h), ND: No detectado.

Tabla 4. Cambios observados en la abundancia relativa de géneros presentes en comunidades microbianas de lodos desnitrificantes.

Grupos de antibióticos	Antibióticos/Concentraciones	Sistema usado/ Fuente de lodo	Disminución de la abundancia relativa		Incremento de la abundancia relativa		Ref.
			Géneros	(%)	Géneros	(%)	
			Único antibiótico				
Fluoroquinolonas	CIP (µg/l) 500	3D- BER/PTAR	<i>Aquabacterium</i>	3 a 1			
			<i>Bdellovibrio</i>	4 a 1			
			<i>Thauera</i>	40 a 30	<i>Pseudomonas</i>	25 a 30	Hassan et al.,
			<i>Herminiimonas</i>	5 a 1	<i>Bacillus</i>	3 a 15	
			<i>Flavobacterium</i>	5 a 3	<i>Thiobacillus</i>	5 a 20	2020
	CIP (mg/l) 100	Reactor EGSB/PT	<i>Acidovorax</i>	2 a 1			
			<i>Thauera</i>	40. 17 a 16.31	<i>Armatimonadetes</i>	3 a 10	
			<i>Phenylbacterium</i>	7.37 a 8.98	<i>Labrenzia</i>	2 a 4	Li et al.,
			<i>Comamonas</i>	17.48 a 10.34	<i>Longilinea</i>	3 a 5	2021
					<i>Solitalea</i>	2 a 7.36	

Sulfonamidas						
OFL (µg/l) 1000	Reactor	Humedales	<i>Pseudomonas</i>	0.56 a 0.32	<i>Rhizobium</i>	Tong <i>et al.</i> , 2019
			<i>Rhodobacter</i>	0.75 a 0.67		<i>al.,</i>
			<i>Arthrobacter</i>	0.92 a 0.30		
SMX (mg/l) 100	Reactor	EGSB/PT	<i>Thauera</i>	40.17 a 12.15	<i>Armatimonadetes</i>	Li <i>et al.</i> , 2021
			<i>Phenylobacterium</i>	7.37 a 6.5	<i>Labrenzia</i>	
			<i>Comamonas</i>	17.48 a 8.08	<i>Longilinea</i>	
					<i>Solitalea</i>	
SMX (µg/l) 20	Reactor	SBR/CAS	<i>Longilinea</i>	<0.5	<i>Thiobacillus</i>	Zhang
			<i>Sulfurospirillum</i>	<0.03	<i>Thauera</i>	Sin variación
			<i>Sulfuritalea</i>	22.2 a 0.07	<i>Sulfurimonas</i>	
			<i>Sulfuricurvum</i>	<0.1		
						2020

**Tetracíclicas**

SMX(µg/l)	Reactor/PTA	<i>Hydrogenophaga</i>	<1.12	<i>Dechloromonas</i>	2.2 a 3.84	An & Qin. 2018
100	R	<i>Longilinea</i>	1.96 a 1.58	<i>Thauera</i>	1.86 a 3.66	
				<i>Ferribacterium</i>	2.18 a 2.5	
				<i>Nitrospira</i>	3.51 a 4.69	
SDZ (mg/l)	Reactor/PTA	NR	NR	<i>Aquabacterium</i>	>0.63	
50	R			<i>Rhodopseudomo</i>	>0.27	
				<i>nas</i>	>0.28	Zheng <i>et al.</i> , 2020
				<i>Thiobacillus</i>	>0.15	
				<i>Desulforhabdus</i>	>9.47	
				<i>Ignavibacterium</i>	>0.43	
				<i>Anaerolinea</i>	1.6 a 2.81	
				<i>SBR1031_norank</i>		
TET (mg/l)	Reactor			<i>Pseudomonas</i>	0.24 a 17.5	Liu <i>et</i> <i>al.</i> , 2016
1-250	EGSB/PTAR	<i>Sulfurocovum</i>	1.64 a 1.09	<i>Thauera</i>	2.91 a 21.9	
TET (mg/g)	Lodos/Sue- los de granja	<i>Bacillus</i> <i>Anaeromyxobacter</i>	NR	<i>Rhodanobacter</i>	NR	Semedo <i>et al.</i> , 2018

**β-lactámicos**

OTC (mg/l) 5	Reactor lote/PTAR	<i>Bradyrhizobium</i>	3 a 2.65	<i>Acidovorax</i>	4 a 7.56	Feng et al., 2020
				<i>Chthoniobacter</i>	4 a 7.14	
				<i>Afipia</i>	1 a 1.60	
				<i>Rhizobacter</i>	0.5 a 0.79	
CTC (mg/l) 100	Reactor EGSB/PT	<i>Comamonas</i> <i>Phenyllobacterium</i> <i>Labrenzia</i> <i>Longilinea</i> <i>Armatimonadetes</i>	17.48 a 10 7.37 a 5 2 a 1 3 a 1 3 a 2	<i>Nitrococcus</i>	>0.70	Li et al., 2021
				<i>Thauera</i>	40.17 a 62.76	
				<i>Azoarcus</i>	1 a 6.69	
				<i>Solitalea</i>	2 a 4	
				<i>Armatimonadetes</i>		
AMOX (mg/l) 100	Reactor EGSB/PT	<i>Thauera</i> <i>Phenyllobacterium</i> <i>Comamonas</i>	40.17 a 7.43 7.37 a 6.8 17.48 a 5	<i>Armatimonadetes</i>		Li et al., 2021
				<i>Labrenzia</i>	3 a 10.39	
				<i>Longilinea</i>	2 a 5.31	
				<i>Azoarcus</i>	3 a 7.54	
				<i>Solitalea</i>	1 a 2	
					2 a 4	

		Mezcla de antibióticos			
Macrólidos	STRP (µg/l)	Comamonas		0.185 a 0.001	
		<i>Acinetobacter</i>		<0.001	
		<i>Pseudoxanthomonas</i>		<0.075	
		<i>Thauera</i>		0.058 a 0.001	
		<i>Acidovorax</i>		0.072 a 0.002	
		<i>Barnesiella</i>		<0.020	
		<i>Bdellovibrio</i>		<0.011	
		<i>Klebsiella</i>		<0.014	
		<i>Enterococcus</i>		NR	
Tylosin TYL (mg/kg)	Reactor/Suelos de granja	<i>Pseudomonas</i>		NR	
		<i>Halomonas</i>		NR	
		<i>Thauera</i>		NR	
		<i>candidatus</i>		NR	

Mezcla de 500						
μg/l:		<i>Nitrosomonas</i>	<1			
TET	Reactor	<i>Sterilobacterium</i>	<1	<i>Dechloromonas</i>	1 a 19.79	Xia et
OTC	MBR/PT	<i>Zooglea</i>	<1	<i>Comamonas</i>	>7.29	al.,
CTC		<i>Acidovorax</i>	<3	<i>Methylobacillus</i>	>5.21	
SMX		<i>Methyloversatilis</i>	<2	<i>Denitrosomonas</i>	>3.13	2012
SMZ		<i>Aquabacterium</i>	<6			
AMP		<i>Methylibium</i>	<14			
Mezcla de						
(μg/kg)	Microcosmos			<i>Sthaphylococcus</i>	NR	Sun et
SDZ 352.1	/Suelos de	NR	NR	<i>Paracoccus</i>	NR	al.,
SMX 12.3	granja			<i>Micrococcus</i>	NR	2017
				<i>Roseobacter</i>	NR	

Tabla 5. Cambios observados en el número de copias, abundancia relativa y expresión en genes de la desnitrificación de lodos expuestos a distintos antibióticos.

Antibióticos	Sistema usado/Fuente de lodo	Disminución	Aumento	Tiempo de exposición	Ref.
<b>No. de copias reportado</b>					
<b>SMZ (µg/l)</b> <b>0.05-100</b>	Lote/Sedimentos de China	<i>nirS</i> 2.8x10 <sup>8</sup>			
		a 1.6x10 <sup>8</sup>		2 d	
		<i>nosZ</i> 5.3x10 <sup>8</sup>		(0, 1, 4, 8,	Hou <i>et al.</i> , 2015
		a 2.9x10 <sup>8</sup>		12, 24, 36 y 48 h)	
<b>TET (mg/g)</b> <b>1</b>	Lodos /Suelos de granja	<i>nosZ</i>			
		2.13x10 <sup>9</sup> a		7 d	Semedo <i>et al.</i> ,
		1.04x10 <sup>9</sup>			2018
<b>OFL (µg/l)</b> <b>0.1, 10,</b> <b>1000</b>	Humedales	<i>nirS</i> 0.5 x10 <sup>4</sup> a			
		7x10 <sup>5</sup>		84 d	
		<i>nirK</i> 0.6x10 <sup>4</sup> a		(cada 3 d)	Tong <i>et al.</i> , 2019
		0.75x10 <sup>5</sup>			
<b>TYL (mg/kg)</b> <b>10-100</b>	Reactor/Suelos de granja	<i>napA</i> 1x10 <sup>6</sup> a 1x10 <sup>7</sup>		65 d	Zhang <i>et al.</i> ,
		<i>narG</i> 1x10 <sup>6</sup> a 1x10 <sup>7</sup>		(5, 15, 30 y 65 d)	2019

*nirS* 1x10<sup>8</sup> a 1x10<sup>10</sup>  
*nirK* 1x10<sup>6</sup> a 1x10<sup>8</sup>  
*cnorB* 1x10<sup>8</sup> a  
                   1x10<sup>9</sup>  
*qnorB* 1x10<sup>7</sup> a  
                   1x10<sup>9</sup>  
*nosZ* 1x10<sup>8</sup> a 1x10<sup>9</sup>

**Mezcla de**

(ng/l):

**SMZ 0.53-**

**89.1**

*nirS* 2.86x10<sup>8</sup>

a 1.62x10<sup>8</sup>

**OTC 5.13-**

**22.5**

Lodos experimentales/ Sedimentos de estuarios

*nosZ*

8 h

Yin *et al.*, 2017

**NOR 0.2-**

**14.2**

8.82x10<sup>7</sup> a

5.75x10<sup>7</sup>

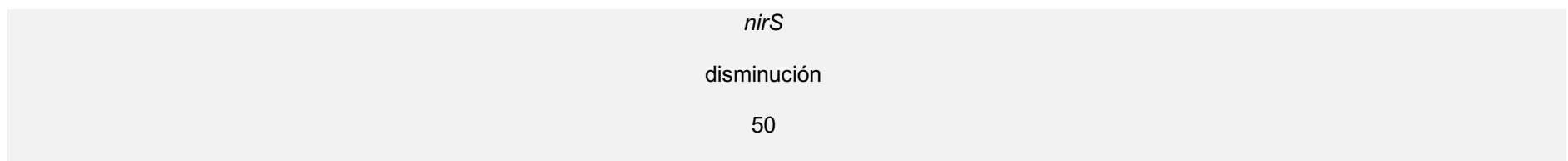
**ERY 0.5-**

**45.4**

<b>Mezcla de</b>		<i>narG, napA</i> 1x10 <sup>-7</sup>		
<b>(μg/kg):</b>		a 1x10 <sup>-3</sup>		
<b>SDZ 352.1</b>	Microcosmos/ Suelos de granja	<i>nirS, nirK, cnorB,</i>		
<b>SMX 12.3</b>		<i>cnorB</i> 1x10 <sup>-8</sup> a 1x10 <sup>-4</sup>	30 d	Sun <i>et al.</i> , 2017
		<i>nosZ</i> 1x10 <sup>-9</sup> a 1x10 <sup>-4</sup>		
		4		

**Abundancia relativa (%) de genes reportada**

<b>SMX (mg/l)</b>		<i>nirS</i> sin variación	3 d	
<b>100</b>	Reactor/PTAR	<i>nosZ</i> sin variación	Al final de la experimentación	An & Qin, 2018
		<i>napA</i> disminución		
		<i>narG</i> sin variación		
		<i>nirK</i> aumento 50		
<b>OTC (mg/l)</b>		<i>qnorB</i> aumento 1 vez	100 d	
<b>50</b>	Reactor en lote/PT	<i>nirS</i> disminución		Yu <i>et al.</i> , 2021
		<i>nosZ</i> sin variación		
		17		
<b>OTC (mg/l)</b>		<i>narG</i> disminución		
<b>5</b>	Reactor en lote/PTAR	<i>nirK</i> sin variación	84 d	
		<i>napA</i> aumento 10		Feng <i>et al.</i> , 2020
		37		



### Expresión diferencial de genes de la desnitrificación

(mg/l):		Reactor EGSB/PTAR			Li <i>et al.</i> , 2021
<b>SMX 100</b>		SMX <i>narG</i>		0.66 FC	
<b>CTC 100</b>			SMX <i>nosZ</i>	1.04 FC	
<b>AMOX 100</b>			SMX <i>nirS</i>	0.43 FC	
<b>CIP 100</b>					
(μg/l):		Reactor/ <i>Marinobacter hydrocarbonoclasticus</i> RAD-2			Ruan <i>et al.</i> , 2020
<b>CIP 300</b>		CIP <i>nirS</i>	421 FC	4 h	
<b>OTC 300</b>		CIP <i>nosZ</i>	44.6 FC		
<b>SMX (mg/l)</b>		Reactor/PTAR			An & Qin. 2018
<b>100</b>		<i>nirS</i>	0.030	FC	
			<i>nosZ</i> 0.036	FC	3 d
					Al final de la experimentación

Tabla 6. Cambio en números de copia, % de abundancia relativa y expresión de genes de resistencia a antibióticos detectados en lodos desnitrificantes expuestos a diferentes antibióticos.

Antibióticos	Sistema utilizado/Fuente de lodo	Disminución	Aumento	Tiempo de exposición	Ref.
<b>No. de copias reportado</b>					
<b>SMZ (µg/l)</b> <b>0.05-100</b>	Lote/Sedimentos de China		<i>sul1</i> 1.2x10 <sup>8</sup> a 2x10 <sup>8</sup>	2 d (0, 1, 4, 8, 12, 24,36 y 48 h)	Hou <i>et al.</i> , 2015
<b>TYL (mg/kg)</b> <b>10-100</b>	Reactor/Suelos de granja	<i>ermX</i> 1x10 <sup>8</sup> to 1x10 <sup>7</sup>	<i>sul1</i> 1x10 <sup>7</sup> a 1x10 <sup>10</sup> <i>sul2</i> 1x10 <sup>8</sup> a 1x10 <sup>10</sup> <i>tetC</i> 1x10 <sup>5</sup> a 1x10 <sup>7</sup> <i>tetX</i> 1x10 <sup>6</sup> a 1x10 <sup>7</sup>	65 d (5, 15, 30 y 65 d)	Zhang <i>et al.</i> , 2019

<b>TET (mg/l)</b>		<i>ermQ</i> $1 \times 10^6$ a			
<b>0.01, 0.1, 1, 5</b>	Reactor/PTAR	$1 \times 10^7$			
		<i>tetA</i> $0.5 \times 10^5$			
		$a 1 \times 10^6$			
		<i>tetC</i> $3 \times 10^4$ a		140 d	Li <i>et al.</i> , 2020
		$6 \times 10^4$			
		<i>tetX</i> 0 a			
		$5 \times 10^2$			
<b>Mezcla de</b> <b>(mg/l)</b>		<i>sul1</i> $1 \times 10^6$ a $1 \times 10^8$			
<b>SMX 0.1-20</b>	UASB/UASB	<i>sul2</i> Sin variación			
<b>TET 0.1-20</b>		<i>tetQ</i> $1 \times 10^7$ a $1 \times 10^8$			
		<i>tetW</i> Sin variación		126 d	Fan <i>et al.</i> , 2020
		<i>tetC</i> $1 \times 10^6$ a $1 \times 10^8$			
		<i>tetX</i> $1 \times 10^8$ a $1 \times 10^9$			
		<i>tetT</i> $1 \times 10^7$ a $1 \times 10^8$			
<b>Mezcla de</b> <b>(μg/kg): SDZ</b>		<i>sul1</i> $1 \times 10^{-2}$ a			
<b>352.1</b>	Microcosmos/Suelos de granja	$1 \times 10^{-3}$		30 d	Sun <i>et al.</i> , 2017
<b>SMX 12.3</b>		<i>sul2</i> $1 \times 10^{-3}$ a			
		$1 \times 10^{-4}$			

*cat1* 1x10<sup>-4</sup> a

1x10<sup>-8</sup>

*cat2* 1x10<sup>-5</sup> a

1x10<sup>-9</sup>

#### Abundancia relativa de genes (%) reportada

<b>OTC (mg/l)</b> <b>50</b>	Reactor en lote/PT	<i>tetO</i>	1 veces	100 d	Yu <i>et al.</i> , 2021
		<i>tetM</i> 16	<i>tetQ</i> 1 veces		
		<i>tetW</i> 16	<i>tetC</i> 5 veces		
		<i>tetT</i> 50	<i>tetX</i> 1 veces		

*tetT* 36 86.12

*tetA* 83.3

*tetG* 41.85

<b>OTC (mg/l)</b> <b>5</b>	Reactor en lote/PTAR	<i>tetT</i>	36 86.12	84 d	Feng <i>et al.</i> , 2020
		<i>tetA</i>	83.3		
		<i>tetG</i>	41.85		
		<i>tetM</i>	32.61		
		<i>tetC</i>	1.14		

#### Expresión diferencial de los genes de resistencia a antibióticos

<b>Mezcla de</b>		<i>cat1</i> 1.2-3-8	
<b>(μg/l): SMX,</b>		log FC	
<b>SDZ, CIP,</b>		<i>cat2</i> 1.2-3-8	
<b>ENR, OFL,</b>		log FC	
<b>TET, OTC,</b>		<i>tetQ</i> 1.2-3-8	
<b>CTC, ERY,</b>	Etapa desnitrificante de planta piloto/Planta farmacéutica	log FC	
<b>TYL, AMP</b>		<i>tetM</i> 1.2-3-8	
<b>5.2-85.3 cada</b>		log FC	
<b>uno</b>		<i>tetW</i> 1.2-3-8	180 d Hou <i>et al.</i> , 2019a
		log FC <i>qNRD</i>	
		1.2-3-8 log	
		FC	
		<i>emrB</i> 1.2-3-8	
		log FC	
		<i>bla<sub>oxa1</sub></i> 1.2-3-	
		8 log FC	
		<i>bla<sub>oxa10</sub></i> 1.2-3-	
		8 log FC	